



ESCOLA POLITÉCNICA DA UNIVERSIDADE DE SÃO PAULO

“O circuito de Chua - Segundo Exercício Programa”

Turma 01

MAP3121 – Métodos Numéricos e Aplicações para Engenharia

Larissa Kimie Takayama - 8943365

Thomas Palmeira Ferraz - 9348985

SÃO PAULO, JUNHO DE 2017

Sumário

1.	Introdução.....	03
2.	Resolução do problema.....	05
2.1.	Justificativa do uso do C++ como linguagem.....	05
2.2.	Algoritmo das funções $F(t, x(t))$ de cada teste.....	05
2.2.1.	Algoritmo do $F(t, x(t))$ do teste 1.....	06
2.2.2.	Algoritmo do $F(t, x(t))$ do teste 2.....	07
2.2.3.	Algoritmo do $F(t, x(t))$ do teste 3.....	08
2.2.4.	Algoritmo do $F(t, x(t))$ do circuito de Chua.....	10
2.3.	Algoritmo do Método de Runge-Kutta Fehlberg.....	11
2.4.	Algoritmo do Erro em relação à solução exata.....	20
3.	Análise de resultados.....	23
3.1.	Teste 1.....	23
3.2.	Teste 2.....	26
3.3.	Teste 3.....	29
3.4.	Circuito de Chua.....	31
3.4.1.	Para $R < 1500$ Ohms.....	31
3.4.2.	Para $R = 1600$ Ohms.....	32
3.4.3.	Valor de R para uma bifurcação do sistema.....	34
3.4.4.	Para $R > 2000$ Ohms.....	35
3.4.5.	Tempo de execução do código.....	37
3.5.	Discussões extras.....	38
3.5.1.	Variação dos parâmetros do circuito.....	38
3.5.2.	Condições iniciais.....	39
4.	Conclusão.....	41

1. Introdução

Para esse segundo exercício programa de Métodos Numéricos será analisado o circuito de Chua que nada mais é que um circuito elétrico simples formado por 2 capacitores lineares, um resistor linear, um indutor linear e um resistor não linear controlado pela tensão. Segue abaixo a representação desse circuito.

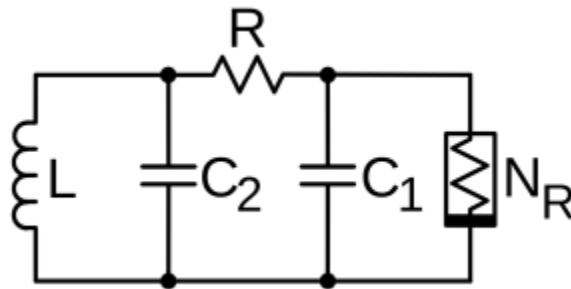


Figura 1 - Circuito de Chua.

Esse resistor não linear é conhecido como diodo de Chua e pode ser definido de forma linear por pedaços. Assim, dependendo da tensão ele fornece uma resistência diferente. A corrente dele pode ser definida como segue na figura abaixo.

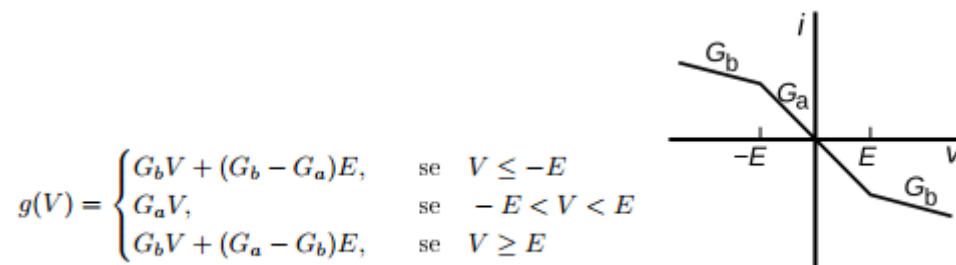


Figura 2 - Corrente do diodo de Chua.

Além disso é possível descrever o circuito com as seguintes equações diferenciais, que são deduzidas a partir das tensões de capacitores e corrente no indutor:

$$\begin{aligned}\dot{V}_{C_1} &= \frac{1}{RC_1}(V_{C_2} - V_{C_1}) - \frac{1}{C_1}g(V_{C_1}), \\ \dot{V}_{C_2} &= \frac{1}{RC_2}(V_{C_1} - V_{C_2}) + \frac{1}{C_2}I_L, \\ \dot{I}_L &= -\frac{1}{L}V_{C_2}.\end{aligned}$$

Figura 3 - Equações diferenciais do circuito de Chua.

O intuito deste exercício programa é analisar o circuito de Chua que representa um sistema dinâmico caótico, uma vez que para pequenas variações nos parâmetros e condições iniciais podem resultar em soluções bem diferentes.

Para se analisar este circuito antes foi preciso entender e aplicar o método de Runge-Kutta Fehlberg, que resolve sistemas de equações diferenciais ordinárias de primeira ordem. Construído o algoritmo para tal método, foi possível testá-lo com 3 situações propostas no enunciado do exercício programa e, por fim, resolver e analisar o circuito de Chua.

2. Resolução do problema

2.1. Justificativa do uso do C++ como linguagem

A escolha do uso do C++ se deve ao fato de ser uma linguagem muito mais simples em alguns aspectos utilizados neste trabalho. Destaca-se a maior facilidade com alocação dinâmica de espaços de memória e de operações de leitura e escrita de arquivos no formato .txt. O uso de programação defensiva também é facilitado com a existência das classes de exceção nesta linguagem.

Além disso, é uma linguagem que possui muitas bibliotecas prontas, com algoritmos e estruturas de dados já implementados. O principal motivo que levou o grupo a optar por ela foi a possibilidade de usar a classe vector da STL do C++ que permite ter vetores ou matrizes com tamanhos variáveis ao longo da execução. No caso, isso se mostrava útil pois o tamanho do vetor dependia da convergência do algoritmo. A única garantia que se tinha era quanto o h_{\min} , que se utilizado poderia ser responsável pela alocação de um vetor onde se usa apenas 10% de seu espaço, o que seria muito ineficiente.

2.2. Algoritmo das funções $F(t, x(t))$ de cada teste

Para cada teste feito (os três propostos no enunciado e o do circuito de Chua) foi feito uma função diferente que calcula o $F(t, x(t))$ correspondente ao problema dado.

Essas funções são passadas como parâmetro na função que realiza o algoritmo do método RKF45, tornando o código mais modularizado. Assim, caso o usuário queira acrescentar algum outro tipo de teste basta escrever uma nova função que calcule a $F(t, x(t))$ e passá-la como parâmetro ao chamar a função do método RKF45.

É válido notar que todas as funções tem mesmos parâmetros, uma vez que elas precisam se encaixar no formato de função que é passada futuramente para a função de método RKF45. Além disso, todas as funções retornam a resposta em um vetor que é o mesmo vetor passado como parâmetro para se colocar a resposta. As funções não

precisariam retornar o vetor, uma vez que já escrevem o resultado no parâmetro fornecido, porém para facilitar o cascadeamento de funções no método RKF45 achou-se interessante que ele retornasse esse mesmo valor.

2.2.1. Algoritmo do $F(t, x(t))$ do teste 1

Segue abaixo a equação diferencial dada para o teste 1.

$$F : \mathbb{R}^2 \rightarrow \mathbb{R} \text{ dada por } F(t, x) = 1 + (x - t)^2$$

Essa função é unidimensional, uma vez que o x é um valor em \mathbb{R} , o que a torna uma função de fácil implementação.

Para implementá-la foi criada uma função chamada `funcao_teste1`, que segue abaixo.

```
double *funcao_teste1 (double t, double *x, double *resposta, int s){
    //int s = x->size();
    for (int i = 0; i < s; i++){
        resposta[i] = (1+pow((x[i] - t), 2));
    }
    return resposta;
}
```

Essa função faz uso de um vetor ' x ' e um valor de ' t ' para calcular a ' $resposta$ ', que, assim como ' x ', é um vetor de tamanho ' s '. Nota-se que para esse teste $s=1$ e, portanto, o "for" só irá rodar uma única vez.

A estrutura da função deve ser igual, em questão de parâmetros, para todas as funções de outros testes, por isso ' x ' e ' $resposta$ ' são vetores e também é necessário passar o tamanho deles.

2.2.2. Algoritmo do $F(t, x(t))$ do teste 2

Para o teste 2 foi preciso implementar uma função multidimensional, uma vez que se tratava de uma equação em que $x \in \mathbb{R}^4$. A equação proposta segue abaixo.

$$F(t, X) = AX, \quad \text{sendo} \quad A = \begin{pmatrix} -2 & -1 & -1 & -2 \\ 1 & -2 & 2 & -1 \\ -1 & -2 & -2 & -1 \\ 2 & -1 & 1 & -2 \end{pmatrix}$$

Para implementá-la foi criada uma função chamada `funcao_teste2`, que segue abaixo.

```
double* funcao_teste2 (double t, double*x, double* F, int m) {
double A[4][4];
double soma;
int i, j;

//Definindo A
A[0][0] = -2.0;
A[0][1] = -1.0;
A[0][2] = -1.0;
A[0][3] = -2.0;
A[1][0] = 1.0;
A[1][1] = -2.0;
A[1][2] = 2.0;
A[1][3] = -1.0;
A[2][0] = -1.0;
A[2][1] = -2.0;
A[2][2] = -2.0;
A[2][3] = -1.0;
A[3][0] = 2.0;
A[3][1] = -1.0;
A[3][2] = 1.0;
A[3][3] = -2.0;

//Multiplicando AX
```

```

for (i=0; i<4; i++){
    soma = 0.0;
    for (j=0; j<4; j++){
        soma = soma + (A[i][j] * x[j]);
    }
    F[i] = soma;
}
return F;
}

```

Assim como na função para o teste 1, a função para o teste 2 tem como parâmetros 't', o vetor 'x', o vetor que apresenta a resposta da função ('F') e o tamanho dos vetores 'x' e 'F', que neste teste é igual a 4.

Pode-se notar que, por ser uma função autônoma, ela não faz uso do 't' para calcular a resposta. Mais uma vez é válido ressaltar que tal valor é passado como parâmetro apenas pelo fato de generalização e modularização desenvolvido para este programa.

2.2.3. Algoritmo do F(t, x(t)) do teste 3

Para o teste 3 foi preciso implementar uma função multidimensional, assim como no teste 2, porém agora ela deve variar o tamanho do vetor x, ou seja, $x \in \mathbb{R}^m$. Segue abaixo a equação proposta, em que a matriz A agora é tridiagonal $m \times m$.

$$F(t, X) = AX, \quad A_{i,i} = -2, i = 1, \dots, m, \quad A_{i,i+1} = A_{i+1,i} = 1, i = 1, \dots, m-1 \text{ e } A_{i,j} = 0$$

Para implementar essa equação, criou-se uma função chamada funcao_teste3, que segue abaixo.

```

double* funcao_teste3(double t, double* x, double* F, int m){
    int i, j;
    double** A = new double*[m];

```



```

for (i = 0; i < m; i++){
    A[i] = new double [m];
}

double soma;

//Contruindo A
for (i=0; i<m; i++){
    for(j=0; j<m; j++){
        if(i==j){
            A[i][j] = -2.0;
        }
        else {
            if( j==(i+1) | i==(j+1) ){
                A[i][j] = 1.0;
            }
            else {
                A[i][j] = 0.0;
            }
        }
    }
}

//Multiplicando AX
for (i=0; i< m; i++){
    soma = 0.0;
    for (j=0; j<m; j++){
        soma = soma + (A[i][j] * x[j]);
    }
    F[i] = soma;
}

for (i = 0; i < m; i++){
    delete(A[i]);
}

delete (A);
return F;
}

```

Essa função permite que o usuário escolha o tamanho 'm' do vetor 'x' e, consequentemente, a quantidade de dimensões do problema. Novamente, nota-se que esta é uma função autônoma, ou seja, não faz uso de 't' para o cálculo da resposta 'F'.

2.2.4. Algoritmo do F(t, x(t)) do circuito de Chua

Para resolver o circuito de Chua foi preciso resolver um sistema de equações diferenciais que segue abaixo.

$$\begin{aligned}\dot{V}_{C_1} &= \frac{1}{RC_1}(V_{C_2} - V_{C_1}) - \frac{1}{C_1}g(V_{C_1}), \\ \dot{V}_{C_2} &= \frac{1}{RC_2}(V_{C_1} - V_{C_2}) + \frac{1}{C_2}I_L, \\ \dot{I}_L &= -\frac{1}{L}V_{C_2}.\end{aligned}$$

Assim, foi preciso criar uma função com dimensão 3 (uma vez que o sistema consiste em três equações diferenciais de primeira ordem), que a cada elemento do vetor resposta 'F' fosse realizado uma das funções do sistema. Segue abaixo a função feita para o circuito de Chua.

```
double* funcao_circuito (double t, double* x, double* F, int m){
// Vc1, Vc2, IL
F[0] = (1.0/(R*C1))*(x[1] - x[0]) + (-1.0/C1)*funcao_g(x[0]);
F[1] = (1.0/(R*C2))*(x[0] - x[1]) + (1.0/C2)*x[2];
F[2] = (-1.0/L)*x[1];
return F;
}
```

Para o cálculo da resposta é preciso um vetor 'x', que neste caso são os parâmetros V_{C_1} , V_{C_2} e I_L , nesta ordem. No primeiro elemento de 'F' (F[0]) guarda-se a resposta calculada a partir da primeira equação do sistema dado. O segundo e o terceiro elemento são os correspondentes à segunda e terceira equação do sistema dado, respectivamente.

É possível notar que para calcular o primeiro elemento de 'F' faz-se uso de uma função_g, que foi implementada a parte de forma a facilitar o entendimento do código. Segue abaixo a função_g desenvolvida conforme o enunciado.

```
double funcao_g (double v){
    if (v <= -1*e_max) return (G_c*v + e_max*(G_c - G_b) + E*(G_b - G_a));
    else if (v > -1*e_max and v <= -1*E) return (G_b*v + (G_b - G_a)*E);
    else if (v > -1*E and v < E) return (G_a*v);
    else if (v >= E and v < e_max) return (G_b*v + (G_a - G_b)*E);
    else return (G_c*v + e_max*(G_b - G_c) + E*(G_a - G_c));
}
```

Basicamente essa função implementa a função descrita abaixo.

$$g(V) = \begin{cases} G_c V + E_{\max}(G_c - G_b) + E(G_b - G_a) & \text{se } V \leq -E_{\max} \\ G_b V + (G_b - G_a)E, & \text{se } -E_{\max} < V \leq -E \\ G_a V, & \text{se } -E < V < E \\ G_b V + (G_a - G_b)E, & \text{se } E \leq V < E_{\max} \\ G_c V + E_{\max}(G_b - G_c) + E(G_a - G_b) & \text{se } E_{\max} \geq V \end{cases}$$

2.3. Algoritmo do Método de Runge-Kutta Fehlberg

O método utilizado neste exercício programa para resolução de equações diferenciais ordinárias foi o método RKF45. Ele combina métodos de quarta e quinta ordem para o controle do passo (h).

Esse método de Runge-Kutta Fehlberg faz uso de 6 estágios que são calculados como se segue abaixo.

$$k_1 = hF(t_i, x_i)$$

$$k_2 = hF(t_i + h/4, x_i + \frac{1}{4} k_1)$$

$$k_3 = hF(t_i + 3h/8, x_i + \frac{3}{32} k_1 + \frac{9}{32} k_2)$$

$$k_4 = hF(t_i + 12h/13, x_i + \frac{1932}{2197} k_1 - \frac{7200}{2197} k_2 + \frac{7296}{2197} k_3)$$

$$k_5 = hF(t_i + h, x_i + \frac{439}{216} k_1 - 8 k_2 + \frac{3680}{513} k_3 - \frac{845}{4104} k_4)$$

$$k_6 = hF(t_i + h/2, x_i - \frac{8}{27} k_1 + 2 k_2 - \frac{3544}{2565} k_3 + \frac{1859}{4104} k_4 - \frac{11}{40} k_5)$$

A partir dos k_i obtidos é possível calcular o X_{i+1} de quarta ordem e de quinta ordem, assim como mostrado nas equações abaixo.

$$x_{i+1} = x_i + \frac{25}{216} k_1 + \frac{1408}{2565} k_3 + \frac{2197}{4104} k_4 - \frac{1}{5} k_5$$

$$\tilde{x}_{i+1} = x_i + \frac{16}{135} k_1 + \frac{6656}{12825} k_3 + \frac{28561}{56430} k_4 - \frac{9}{50} k_5 + \frac{2}{55} k_6$$

O algoritmo deve funcionar da seguinte forma: a partir do valor inicial de x e de um h inicial deve-se calcular os k_i e as aproximações x_{i+1} e \tilde{x}_{i+1} . Vale notar que é preciso que os k_i sejam calculados sequencialmente, uma vez que o valor do k_i posterior depende do valor dos k_i anteriores. Além disso, apenas depois de calculados os k_i é que deverá ser calculado as aproximações de quarta e quinta ordem, pois elas dependem diretamente desses k_i .

Depois de calculadas as aproximações, é possível estimar o erro local de truncamento $\tau_{i+1}(h)$ que é dado pela equação abaixo.

$$\tau_{i+1}(h) \approx \frac{\tilde{x}_{i+1} - x_{i+1}}{h}$$

Vale notar que quando x é multidimensional é preciso pegar o valor máximo, em módulo, da diferença das duas aproximações para que tenhamos o valor máximo de erro local estimado.

Com o valor do erro local estimado, verifica-se se ele está dentro da precisão pedida (eps). No código feito pelo grupo, quando o erro está dentro da precisão necessária a flag 'preciso' torna-se verdadeira. Além disso o valor de x_{i+1} é aceito como nova aproximação no instante $t_{i+1} = t_i + h$ e deve-se atualizar o valor de h para αh , como mostrado na equação abaixo.

$$\alpha \leq \left(\frac{\epsilon h}{c \|\tilde{x}_{i+1} - x_{i+1}\|} \right)^{1/p}$$

Sendo o fator de segurança $c = 2$ e lembrando que $p = 4$ (ordem de convergência do método). Para este cálculo podemos usar o valor máximo da diferença das aproximações quando quisermos diminuir o h (ou seja, quando o erro local estimado for maior que a precisão).

Caso o valor do erro local estimado for maior que a precisão, o valor de x_{i+1} é rejeitado e o h deve ser atualizado assim como descrito anteriormente. Então deve-se refazer os cálculos de k_i e das aproximações x_{i+1} e \tilde{x}_{i+1} .

A integração terminará ao se atingir o instante final desejado (t_f). A fim de garantir que se chegue exatamente no instante final, sem ultrapassá-lo, em toda iteração verifica-se se h é maior que $t_f - t_{\text{atual}}$, caso positivo então h deve ser $t_f - t_{\text{atual}}$.

Além disso, limitou-se o h entre h_{min} e h_{max} de forma a este não se tornar um valor pequeno demais e nem grande demais. Tais valores podem ser modificados pelo usuário.

Segue abaixo o código feito para implementar o método KRF45 descrito acima.

```
void RKF45 (double h, double ti, double tf, double eps, double *x0, vector<double> *x, vector<double>
*t, vector<double> *x_barra, double* funcao (double t, double *x, double *resposta, int s), unsigned int
m){
    double t_atual = ti;
    double tau;
    //cout << "m: " << m << endl;
    double *k1 = new double [m];
    double *k2 = new double [m];
    double *k3 = new double [m];
```

```

double *k4 = new double [m];
double *k5 = new double [m];
double *k6 = new double [m];
double *temporario = new double [m];
double *temporario2 = new double [m];
double *temporario3 = new double [m];
double *temporario4 = new double [m];
double *temporario5 = new double [m];
double *temporario6 = new double [m];
double *temporario7 = new double [m];

double *x_atual = new double [m];
double *x_barra_atual = new double [m];
bool preciso = false;
x->push_back(x0);
x_barra->push_back(x0);
t->push_back (ti);
ofstream saida;
saida.open ("Ex4.txt");
//saida << "t x[0] x[1] x[2] x[3] erro[0] erro[1] erro[2] erro[3]" << endl;
saida.precision(16);
    for(int i=0; t_atual < tf; i++){
        while (!preciso){
            k1 = multiplica_vetor_por_escalar(funcao(t_atual, x->at(i), temporario, m),h, k1, m);
            k2 = multiplica_vetor_por_escalar(funcao(t_atual + h/4.0, soma_vetor(x->at(i),
multiplica_vetor_por_escalar(k1, 1.0/4.0, temporario,m), temporario2, m),temporario3,m),h,k2,m);
            k3 = multiplica_vetor_por_escalar(funcao(t_atual + 3.0*(h/8.0), soma_vetor(x->at(i),
multiplica_vetor_por_escalar(k1, (3.0/32.0), temporario,m), multiplica_vetor_por_escalar(k2, (9.0/32.0),
temporario2,m), temporario3,m), temporario4,m),h,k3,m);
            k4 = multiplica_vetor_por_escalar(funcao(t_atual + (12.0/13.0)*h, soma_vetor(x->at(i),
multiplica_vetor_por_escalar(k1, (1932.0/2197.0), temporario,m), multiplica_vetor_por_escalar (k2, -
7200.0/2197.0, temporario2,m), multiplica_vetor_por_escalar (k3, (7296.0/2197.0), temporario3,m),
temporario4,m), temporario5,m),h, k4,m);
            k5 = multiplica_vetor_por_escalar(funcao(t_atual + h, soma_vetor(x-
>at(i),multiplica_vetor_por_escalar(k1, (439.0/216.0), temporario,m), multiplica_vetor_por_escalar(k2, -
8.0, temporario2,m), multiplica_vetor_por_escalar(k3, (3680.0/513.0), temporario3,m),
multiplica_vetor_por_escalar(k4, -845.0/4104.0, temporario4,m), temporario5,m), temporario6,m),h,k5,m);

```

```

k6 = multiplica_vetor_por_escalar(funcao(t_atual + h/2.0, soma_vetor(x->at(i),
multiplica_vetor_por_escalar(k1, -8.0/27.0, temporario,m), multiplica_vetor_por_escalar(k2, 2.0,
temporario2,m), multiplica_vetor_por_escalar(k3, - 3544.0/2565.0, temporario3,m),
multiplica_vetor_por_escalar(k4, (1859.0/4104.0), temporario4,m),multiplica_vetor_por_escalar(k5, -
11.0/40.0, temporario5,m), temporario6,m), temporario7,m), h,k6,m);

x_barra_atual = soma_vetor(x->at(i), multiplica_vetor_por_escalar(k1, 16.0/135.0, temporario,m),
multiplica_vetor_por_escalar(k3, 6656.0/12825.0, temporario3,m), multiplica_vetor_por_escalar(k4,
28561.0/56430.0, temporario4,m), multiplica_vetor_por_escalar(k5, -9.0/50.0,
temporario5,m),multiplica_vetor_por_escalar(k6, 2.0/55.0, temporario2,m),x_barra_atual,m);

x_atual = soma_vetor(x->at(i),multiplica_vetor_por_escalar(k1, 25.0/216.0,
temporario,m),multiplica_vetor_por_escalar(k3, 1408.0/2565.0, temporario3,m),
multiplica_vetor_por_escalar(k4, 2197.0/4104.0, temporario4,m), multiplica_vetor_por_escalar(k5, -
1.0/5.0, temporario5,m),x_atual,m);

tau = maxima_diferenca(x_barra_atual,x_atual,m)/h;
if (tau < eps){
    preciso = true;
    t_atual += h;
    //calcular novo h
    // verificar se está entre o mínimo e o máximo
    //verificar se o passo não atravessa o tf.
}

/*cout << "k1: " << k1[0] << " " << k1[1] << " " << k1[2] << " " << k1[3] << endl;
cout << "k2: " << k2[0] << " " << k2[1] << " " << k2[2] << " " << k2[3] << endl;
cout << "k3: " << k3[0] << " " << k3[1] << " " << k3[2] << " " << k3[3] << endl;
cout << "k4: " << k4[0] << " " << k4[1] << " " << k4[2] << " " << k4[3] << endl;
cout << "k5: " << k5[0] << " " << k5[1] << " " << k5[2] << " " << k5[3] << endl;
cout << "k6: " << k6[0] << " " << k6[1] << " " << k6[2] << " " << k6[3] << endl;*/
cout << "tau: " << tau << endl;

h = h*pow (((h*eps)/(c*maxima_diferenca(x_barra_atual, x_atual, m))), 1.0/p);
if (h > h_max) {
    h = h_max;
}
if (h < h_min) {
    h = h_min;
}
if (h > tf - t_atual) {
    h = tf - t_atual;

```

```

    }

    //cout << "ks: " << k1[0] << " " << k2[0] << " " << k3[0] << " " << k4[0] << " " << k5[0] << " " << k6[0]
<< endl;

    cout << "h: " << h << endl;

    //cout << "i: " << i << " k1: " << k1 << " k2: " << k2 << " k3: " << k3 << " k4: " << k4 << " k5: " << k5
<< " k6: " << k6 << " x[i+1]: " << x_atual << "x~[i+1]: " << x_barra_atual << "tau: " << tau << "t: " << t_atual
<< "h: " << h << endl;

    //printa_vetor("x: ", x_atual, m);
    //printa_vetor(" x_barra: ", x_barra_atual, m);
    //cout << "tau " << tau << endl;
}

preciso = false;
guarda_vetor(x, x_atual, m);
t->push_back(t_atual);
/*temporario = erro_teste2(x_atual, t_atual, temporario);
saida << t_atual << " " << x_atual[0] << " " << x_atual[1] << " " << x_atual[2] << " " << x_atual[3] << "
" << temporario[0] << " " << temporario[1] << " " << temporario[2] << " " << temporario[3] << endl;*/
//saida << t_atual << " " << x_atual[0] << " " << erro_teste1(x_atual[0], t_atual) << endl;
/*temporario = erro_teste3(x_atual, t_atual, temporario, m);
saida << t_atual << " " << x_atual[0] << " " << x_atual[1] << " " << x_atual[2] << " " << x_atual[3] << "
" << x_atual[4] << " " << x_atual[5] << " " << x_atual[6] << " " << temporario[0] << " " << temporario[1] <<
" " << temporario[2] << " " << temporario[3] << temporario[4] << " " << temporario[5] << " " <<
temporario[6] << " " << endl;*/
saida << t_atual << " " << x_atual[0] << " " << x_atual[1] << " " << x_atual[2] << ", " << endl;
guarda_vetor(x_barra, x_barra_atual, m);
cout << "i=" << i << endl;
}

saida.close();
delete (k1);
delete (k2);
delete (k3);
delete (k4);
delete (k5);
delete (k6);
delete (temporario);
delete (temporario2);

```



```

        delete (temporario3);
        delete (temporario4);
        delete (temporario5);
        delete (x_atual);
        delete (x_barra_atual);
    }

```

Algumas linhas deste código estão comentadas, pois dependem do que o usuário gostaria de ver como saída. Por exemplo: se o usuário deseja saber o erro em relação à solução exata é preciso descomentar algumas linhas que chamam a função erro do determinado teste, além das linhas que as printam em uma saída.

Nota-se que foi preciso fazer uso de algumas funções auxiliares para fazer as operações com vetores. Dessa forma segue a explicação das funções feitas e utilizadas.

Para o cálculo dos k_i foi preciso fazer a função que soma vetores e que multiplica um vetor por escalar. A função que multiplica um vetor por escalar segue abaixo.

```

double * multiplica_vetor_por_escalar (double *v, double escalar, double *resposta, int s){
    //int s = v->size();
    cout << "s: " << s;
    for (int i = 0; i < s; i++){
        resposta[i] = escalar*v[i];
        cout << "resposta->at(i): " << resposta[i];
    }
    return resposta;
}

```

A função que soma vetores na verdade são 6 funções, sendo a única diferença entre elas o fato de que cada uma tem mais entradas que outra, conseqüentemente soma mais vetores que outra. Assim, tem-se uma função que soma 2 vetores, uma que soma 3 vetores e assim por diante. A declaração dessas funções apenas se diferencia pela quantidade de entradas, uma vez que o nome permanece o mesmo. Segue abaixo as funções de soma de vetores.

```

double * soma_vetor (double *v1, double *v2, double *resposta, int s){

```

```

//int s = v1->size();
cout << "soma_vetor" << endl;
for (int i = 0; i < s; i++){
    resposta[i] = v1[i] + v2[i];
}
return resposta;
}

```

```

double * soma_vetor (double *v1, double *v2, double *v3, double *resposta, int s){
    //int s = v1->size();
    for (int i = 0; i < s; i++){
        resposta[i] = v1[i] + v2[i] + v3[i];
    }
    return resposta;
}

```

```

double * soma_vetor (double *v1, double *v2, double *v3, double *v4, double *resposta, int s){
    //int s = v1->size();
    for (int i = 0; i < s; i++){
        resposta[i] = v1[i]+v2[i]+v3[i]+v4[i];
    }
    return resposta;
}

```

```

double * soma_vetor (double *v1, double *v2, double *v3, double *v4, double *v5, double *resposta, int s){
    //int s = v1->size();
    for (int i = 0; i < s; i++){
        resposta[i] = v1[i]+v2[i]+v3[i]+v4[i]+v5[i];
    }
    return resposta;
}

```

```

double * soma_vetor (double *v1, double *v2, double *v3, double *v4, double *v5, double *v6, double
*resposta, int s){
    //int s = v1->size();
    for (int i = 0; i < s; i++){
        resposta[i] = v1[i]+v2[i]+v3[i]+v4[i]+v5[i]+v6[i];
    }
}

```

```

}
return resposta;
}

```

Para o cálculo de novo h foi preciso fazer uma função que retorna a máxima diferença entre dois vetores. Assim segue abaixo a função feita

```

double maxima_diferenca(double *x1, double *x2, int s){
    //int s = x1->size();
    double dif = 0.0;
    double dif_i;
    for (int i = 0; i < s; i++){
        dif_i = abs(x1[i] - x2[i]);
        if (dif_i > dif){
            dif = dif_i;
        }
    }
    return dif;
}

```

A última função auxiliar utilizada foi aquela que guarda o vetor calculado (e aceito, ou seja, dentro da precisão solicitada) colocando seus valores ao fim de um vetor já existente. Tal função segue abaixo.

```

void guarda_vetor (vector<double *> *x, double *y, int s){
    double *z = new double [s];
    for(int i = 0; i < s; i++){
        z[i] = y[i];
    }
    x->push_back(z);
}

```

Essa função é utilizada para guardar os valores de x_{i+1} e \tilde{x}_{i+1} , depois que eles foram calculados e provados dentro da precisão solicitada.

2.4. Algoritmo do Erro em relação à solução exata

A fim de verificar o erro da integração, feita pelo método KRF45 implementado, em relação a solução exata, foi feito uma função, para cada teste, que calcula tal erro. Isso só foi possível, pois para os testes 1, 2 e 3 foi fornecido a solução exata das equações diferenciais.

Para o primeiro teste a solução exata fornecida foi $x(t) = t + 1/(1 - t)$, logo a função erro para ele faz a diferença entre essa função e a aproximação calculada naquele ponto. Vale notar que o erro foi calculado em módulo. Segue abaixo a função desenvolvida.

```
double erro_teste1 (double x_estim, double t){  
    return fabs(x_estim - (t+1.0/(1.0-t)));  
}
```

Para o segundo teste a solução exata fornecida foi a que segue abaixo.

$$\bar{X}(t) = \begin{pmatrix} e^{-t} \sin t + e^{-3t} \cos 3t \\ e^{-t} \cos t + e^{-3t} \sin 3t \\ -e^{-t} \sin t + e^{-3t} \cos 3t \\ -e^{-t} \cos t + e^{-3t} \sin 3t \end{pmatrix}$$

Assim a função erro desenvolvida para esse teste segue abaixo.

```
double* erro_teste2 (double* x_estim, double t, double* erro){  
  
    erro[0] = fabs(x_estim[0] - ( (exp(-1.0*t)*sin(t)) + (exp(-3.0*t)*cos(3*t)) ));  
    erro[1] = fabs(x_estim[1] - ( (exp(-1.0*t)*cos(t)) + (exp(-3.0*t)*sin(3*t)) ));  
    erro[2] = fabs(x_estim[2] - ( -1.0*(exp(-1.0*t)*sin(t)) + (exp(-3.0*t)*cos(3*t)) ));  
    erro[3] = fabs(x_estim[3] - ( -1.0*(exp(-1.0*t)*cos(t)) + (exp(-3.0*t)*sin(3*t)) ));  
  
    return erro;  
}
```

Já para o terceiro teste a solução exata fornecida foi: $X(t)_i = e^{-\lambda_1 t} \sin(\pi y_i) + e^{-\lambda_2 t} \sin(m \pi y_i)$, $i = 1, \dots, m$, com $y_i = i / (m + 1)$, $\lambda_1 = 2(1 - \cos(\pi / (m + 1)))$ e $\lambda_2 = 2(1 - \cos(m \pi / (m + 1)))$. Assim, a função erro implementada segue abaixo.

```
double* erro_teste3 (double* x_estim, double t, double* erro, int m){
    double lamb1, lamb2, y;
    int i;

    for (i=0; i<m; i++){
        y = i/(m+1.0);
        lamb1 = 2.0*(1.0-cos(M_PI/(m+1.0)));
        lamb2 = 2.0*(1.0-cos(m*M_PI/(m+1.0)));
        erro[i] = fabs(x_estim[i] - ( exp(-1.0*lamb1*t)*sin(M_PI*y)) + (exp(-1.0*lamb2*t)*sin(m*M_PI*y)) ));
    }
    return erro;
}
```

Essas funções podem ser utilizadas dentro do método RKF45 de modo a verificar o erro da aproximação com a solução exata da equação, ponto a ponto. Assim, a cada 't' chama-se a função erro do teste determinado de modo a gerar ao final resultados de erros ponto a ponto. Para entender melhor isso basta voltar ao código do método RKF45.

3. Análise de resultados

3.1. Teste 1

O primeiro teste consiste em resolver a equação diferencial $F(t, x) = 1 + (x - t)^2$, a partir do valor inicial $x(1.05) = -18.95$ até o tempo final $t_f = 3$ pelo método RKF45 com $\text{eps} = 10^{-5}$. Para iniciar utilizou-se $h = 0.1$ e a cada passo foi impresso o valor de h empregado e o valor da solução. Além disso também foi impresso o erro em relação a solução exata desta equação.

h: 0.00102247	x: -17.3432		h: 0.00854423	x: -5.11994	erro: 1.96843e-007
h: 0.00160625	x: -18.5482	erro: 8.27827e-010	h: 0.00922813	x: -4.79167	erro: 2.07058e-007
h: 0.0016614	x: -17.9484	erro: 7.62517e-009	h: 0.00998522	x: -4.47178	erro: 2.1786e-007
h: 0.00174051	x: -17.3653	erro: 1.38945e-008	h: 0.01	x: -4.16019	erro: 2.29309e-007
h: 0.00182386	x: -16.7913	erro: 2.00831e-008	h: 0.01	x: -3.87878	erro: 2.3155e-007
h: 0.00191256	x: -16.2269	erro: 2.61874e-008	h: 0.01	x: -3.62359	erro: 2.28102e-007
h: 0.00200702	x: -15.6719	erro: 3.22197e-008	h: 0.01	x: -3.39099	erro: 2.21317e-007
h: 0.00210771	x: -15.1262	erro: 3.81926e-008	h: 0.01	x: -3.17801	erro: 2.12674e-007
h: 0.00221514	x: -14.59	erro: 4.41184e-008	h: 0.01	x: -2.98215	erro: 2.03107e-007
h: 0.00232988	x: -14.0632	erro: 5.00105e-008	h: 0.01	x: -2.80135	erro: 1.93202e-007
h: 0.00245255	x: -13.5457	erro: 5.58822e-008	h: 0.01	x: -2.63383	erro: 1.83326e-007
h: 0.00258385	x: -13.0376	erro: 6.17476e-008	h: 0.01	x: -2.47811	erro: 1.73701e-007
h: 0.00272454	x: -12.5388	erro: 6.7621e-008	h: 0.01	x: -2.33292	erro: 1.6446e-007
h: 0.00287545	x: -12.0493	erro: 7.35178e-008	h: 0.01	x: -2.19714	erro: 1.55672e-007
h: 0.00303752	x: -11.569	erro: 7.94538e-008	h: 0.01	x: -2.06984	erro: 1.47372e-007
h: 0.00321179	x: -11.0981	erro: 8.54454e-008	h: 0.01	x: -1.95017	erro: 1.39565e-007
h: 0.00339941	x: -10.6363	erro: 9.15101e-008	h: 0.01	x: -1.83742	erro: 1.32244e-007
h: 0.00360167	x: -10.1837	erro: 9.76663e-008	h: 0.01	x: -1.73096	erro: 1.25393e-007
h: 0.00382	x: -9.74033	erro: 1.03933e-007	h: 0.01	x: -1.63023	erro: 1.18988e-007
h: 0.00405601	x: -9.30606	erro: 1.10331e-007	h: 0.01	x: -1.53472	erro: 1.13003e-007
h: 0.0043115	x: -8.88089	erro: 1.16882e-007	h: 0.01	x: -1.444	erro: 1.07412e-007
h: 0.00458848	x: -8.46478	erro: 1.2361e-007	h: 0.01	x: -1.35768	erro: 1.02189e-007
h: 0.00488923	x: -8.05769	erro: 1.30538e-007	h: 0.01	x: -1.27541	erro: 9.73063e-008
h: 0.00521631	x: -7.65958	erro: 1.37693e-007	h: 0.01	x: -1.19687	erro: 9.27406e-008
h: 0.00557263	x: -7.27041	erro: 1.45105e-007	h: 0.01	x: -1.12179	erro: 8.84681e-008
h: 0.00596146	x: -6.89013	erro: 1.52802e-007	h: 0.01	x: -1.04991	erro: 8.44669e-008
h: 0.00638656	x: -6.51867	erro: 1.60819e-007	h: 0.01	x: -0.980989	erro: 8.07168e-008
h: 0.00685216	x: -6.15599	erro: 1.69192e-007	h: 0.01	x: -0.914832	erro: 7.7199e-008
h: 0.00736312	x: -5.80202	erro: 1.77957e-007	h: 0.01	x: -0.851244	erro: 7.38962e-008
h: 0.00792502	x: -5.4567	erro: 1.87159e-007	h: 0.01	x: -0.790055	erro: 7.07922e-008

h: 0.01	x: -0.731105	erro: 6.78726e-008
h: 0.01	x: -0.674251	erro: 6.51237e-008
h: 0.01	x: -0.619362	erro: 6.25332e-008
h: 0.01	x: -0.566317	erro: 6.00897e-008
h: 0.01	x: -0.515004	erro: 5.77827e-008
h: 0.01	x: -0.46532	erro: 5.56027e-008
h: 0.01	x: -0.417171	erro: 5.35408e-008
h: 0.01	x: -0.37047	erro: 5.15889e-008
h: 0.01	x: -0.325136	erro: 4.97397e-008
h: 0.01	x: -0.281094	erro: 4.79862e-008
h: 0.01	x: -0.238275	erro: 4.6322e-008
h: 0.01	x: -0.196612	erro: 4.47415e-008
h: 0.01	x: -0.156048	erro: 4.32392e-008
h: 0.01	x: -0.116524	erro: 4.18101e-008
h: 0.01	x: -0.07799	erro: 4.04497e-008
h: 0.01	x: -0.0403958	erro: 3.91536e-008
h: 0.01	x: -0.00369608	erro: 3.79181e-008
h: 0.01	x: 0.032152	erro: 3.67394e-008
h: 0.01	x: 0.0671885	erro: 3.56142e-008
h: 0.01	x: 0.101451	erro: 3.45393e-008
h: 0.01	x: 0.134975	erro: 3.35119e-008
h: 0.01	x: 0.167794	erro: 3.25291e-008
h: 0.01	x: 0.199939	erro: 3.15885e-008
h: 0.01	x: 0.231438	erro: 3.06878e-008
h: 0.01	x: 0.262321	erro: 2.98247e-008
h: 0.01	x: 0.292614	erro: 2.89972e-008
h: 0.01	x: 0.32234	erro: 2.82034e-008
h: 0.01	x: 0.351524	erro: 2.74415e-008
h: 0.01	x: 0.380187	erro: 2.67098e-008
h: 0.01	x: 0.40835	erro: 2.60068e-008
h: 0.01	x: 0.436033	erro: 2.5331e-008
h: 0.01	x: 0.463256	erro: 2.46811e-008
h: 0.01	x: 0.490035	erro: 2.40556e-008
h: 0.01	x: 0.516388	erro: 2.34535e-008
h: 0.01	x: 0.54233	erro: 2.28736e-008
h: 0.01	x: 0.567877	erro: 2.23149e-008
h: 0.01	x: 0.593044	erro: 2.17762e-008
h: 0.01	x: 0.617844	erro: 2.12567e-008
h: 0.01	x: 0.64229	erro: 2.07555e-008
h: 0.01	x: 0.666395	erro: 2.02717e-008
h: 0.01	x: 0.690171	erro: 1.98046e-008
h: 0.01	x: 0.713629	erro: 1.93534e-008

h: 0.01	x: 0.736781	erro: 1.89173e-008
h: 0.01	x: 0.759635	erro: 1.84958e-008
h: 0.01	x: 0.782203	erro: 1.80881e-008
h: 0.01	x: 0.804494	erro: 1.76937e-008
h: 0.01	x: 0.826517	erro: 1.7312e-008
h: 0.01	x: 0.848281	erro: 1.69425e-008
h: 0.01	x: 0.869793	erro: 1.65847e-008
h: 0.01	x: 0.891063	erro: 1.6238e-008
h: 0.01	x: 0.912096	erro: 1.59021e-008
h: 0.01	x: 0.932902	erro: 1.55764e-008
h: 0.01	x: 0.953486	erro: 1.52607e-008
h: 0.01	x: 0.973856	erro: 1.49544e-008
h: 0.01	x: 0.994018	erro: 1.46572e-008
h: 0.01	x: 1.01398	erro: 1.43687e-008
h: 0.01	x: 1.03374	erro: 1.40887e-008
h: 0.01	x: 1.05332	erro: 1.38167e-008
h: 0.01	x: 1.07271	erro: 1.35525e-008
h: 0.01	x: 1.09192	erro: 1.32958e-008
h: 0.01	x: 1.11095	erro: 1.30463e-008
h: 0.01	x: 1.12982	erro: 1.28038e-008
h: 0.01	x: 1.14852	erro: 1.25679e-008
h: 0.01	x: 1.16706	erro: 1.23385e-008
h: 0.01	x: 1.18545	erro: 1.21153e-008
h: 0.01	x: 1.20368	erro: 1.18981e-008
h: 0.01	x: 1.22177	erro: 1.16867e-008
h: 0.01	x: 1.23971	erro: 1.14808e-008
h: 0.01	x: 1.25752	erro: 1.12803e-008
h: 0.01	x: 1.27518	erro: 1.1085e-008
h: 0.01	x: 1.29272	erro: 1.08948e-008
h: 0.01	x: 1.31013	erro: 1.07094e-008
h: 0.01	x: 1.32741	erro: 1.05286e-008
h: 0.01	x: 1.34456	erro: 1.03524e-008
h: 0.01	x: 1.3616	erro: 1.01806e-008
h: 0.01	x: 1.37852	erro: 1.0013e-008
h: 0.01	x: 1.39533	erro: 9.84951e-009
h: 0.01	x: 1.41203	erro: 9.68999e-009
h: 0.01	x: 1.42862	erro: 9.5343e-009
h: 0.01	x: 1.4451	erro: 9.38233e-009
h: 0.01	x: 1.46148	erro: 9.23396e-009
h: 0.01	x: 1.47776	erro: 9.08908e-009
h: 0.01	x: 1.49394	erro: 8.94757e-009
h: 0.01	x: 1.51002	erro: 8.80934e-009

h: 0.01	x: 1.52601	erro: 8.67429e-009	h: 0.01	x: 2.05352	erro: 5.31815e-009
h: 0.01	x: 1.54191	erro: 8.54231e-009	h: 0.01	x: 2.06714	erro: 5.25459e-009
h: 0.01	x: 1.55772	erro: 8.41332e-009	h: 0.01	x: 2.08072	erro: 5.19217e-009
h: 0.01	x: 1.57344	erro: 8.28722e-009	h: 0.01	x: 2.09425	erro: 5.13085e-009
h: 0.01	x: 1.58908	erro: 8.16394e-009	h: 0.01	x: 2.10774	erro: 5.07061e-009
h: 0.01	x: 1.60463	erro: 8.04338e-009	h: 0.01	x: 2.1212	erro: 5.01143e-009
h: 0.01	x: 1.6201	erro: 7.92547e-009	h: 0.01	x: 2.13461	erro: 4.95327e-009
h: 0.01	x: 1.63549	erro: 7.81013e-009	h: 0.01	x: 2.14798	erro: 4.89612e-009
h: 0.01	x: 1.6508	erro: 7.69729e-009	h: 0.01	x: 2.16131	erro: 4.83995e-009
h: 0.01	x: 1.66604	erro: 7.58687e-009	h: 0.01	x: 2.17461	erro: 4.78475e-009
h: 0.01	x: 1.6812	erro: 7.47881e-009	h: 0.01	x: 2.18787	erro: 4.73048e-009
h: 0.01	x: 1.69629	erro: 7.37304e-009	h: 0.01	x: 2.20109	erro: 4.67713e-009
h: 0.01	x: 1.7113	erro: 7.2695e-009	h: 0.01	x: 2.21427	erro: 4.62468e-009
h: 0.01	x: 1.72625	erro: 7.16812e-009	h: 0.01	x: 2.22742	erro: 4.5731e-009
h: 0.01	x: 1.74113	erro: 7.06884e-009	h: 0.01	x: 2.24053	erro: 4.52238e-009
h: 0.01	x: 1.75594	erro: 6.97161e-009	h: 0.01	x: 2.25361	erro: 4.4725e-009
h: 0.01	x: 1.77068	erro: 6.87638e-009	h: 0.01	x: 2.26666	erro: 4.42345e-009
h: 0.01	x: 1.78536	erro: 6.78307e-009	h: 0.01	x: 2.27967	erro: 4.37519e-009
h: 0.01	x: 1.79997	erro: 6.69165e-009	h: 0.01	x: 2.29265	erro: 4.32772e-009
h: 0.01	x: 1.81452	erro: 6.60207e-009	h: 0.01	x: 2.3056	erro: 4.28101e-009
h: 0.01	x: 1.82902	erro: 6.51427e-009	h: 0.01	x: 2.31851	erro: 4.23506e-009
h: 0.01	x: 1.84345	erro: 6.42821e-009	h: 0.01	x: 2.3314	erro: 4.18984e-009
h: 0.01	x: 1.85782	erro: 6.34385e-009	h: 0.01	x: 2.34425	erro: 4.14535e-009
h: 0.01	x: 1.87214	erro: 6.26113e-009	h: 0.01	x: 2.35708	erro: 4.10156e-009
h: 0.01	x: 1.8864	erro: 6.18002e-009	h: 0.01	x: 2.36987	erro: 4.05846e-009
h: 0.01	x: 1.90061	erro: 6.10047e-009	h: 0.01	x: 2.38263	erro: 4.01603e-009
h: 0.01	x: 1.91476	erro: 6.02245e-009	h: 0.01	x: 2.39537	erro: 3.97426e-009
h: 0.01	x: 1.92886	erro: 5.94591e-009	h: 0.01	x: 2.40808	erro: 3.93315e-009
h: 0.01	x: 1.9429	erro: 5.87082e-009	h: 0.01	x: 2.42076	erro: 3.89267e-009
h: 0.01	x: 1.9569	erro: 5.79715e-009	h: 0.01	x: 2.43341	erro: 3.8528e-009
h: 0.01	x: 1.97084	erro: 5.72485e-009	h: 0.01	x: 2.44603	erro: 3.81355e-009
h: 0.01	x: 1.98474	erro: 5.65389e-009	h: 0.01	x: 2.45863	erro: 3.7749e-009
h: 0.01	x: 1.99859	erro: 5.58425e-009	h: 0.01	x: 2.4712	erro: 3.73683e-009
h: 0.01	x: 2.01239	erro: 5.51588e-009	h: 0.01	x: 2.48375	erro: 3.69933e-009
h: 0.01	x: 2.02615	erro: 5.44876e-009	h: 0.00298637	x: 2.49627	erro: 3.66239e-009
h: 0.01	x: 2.03985	erro: 5.38286e-009	h: 0	x: 2.5	erro: 3.65146e-009

Através dos resultados foi possível fazer o gráfico solução numérica x tempo apresentado abaixo.

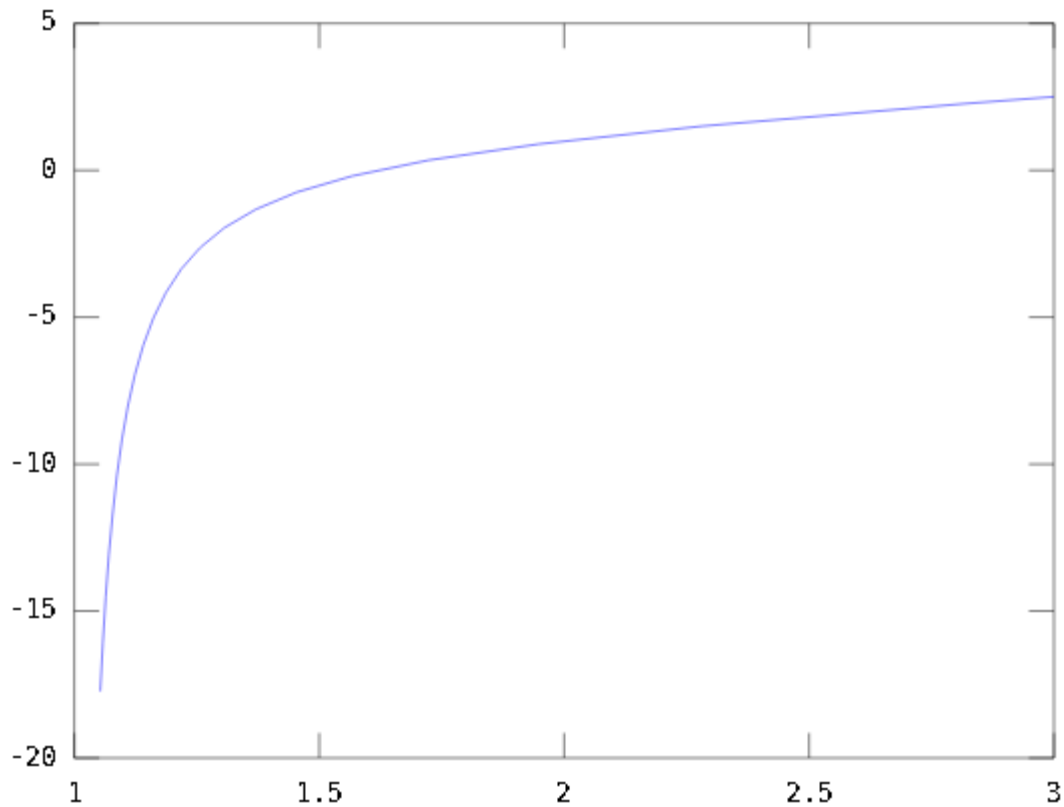


Gráfico 1 - Solução numérica do teste 1 x tempo.

3.2. Teste 2

O segundo teste consiste em resolver a equação diferencial autônoma $F(t, X) = AX$, onde:

$$A = \begin{pmatrix} -2 & -1 & -1 & -2 \\ 1 & -2 & 2 & -1 \\ -1 & -2 & -2 & -1 \\ 2 & -1 & 1 & -2 \end{pmatrix}$$

A equação foi integrada a partir de $X(0) = (1, 1, 1, -1)$ até $t_f = 2$, usando $h = 0.1$ inicialmente e $\text{eps} = 10^{-5}$. A cada passo foi impresso o valor de h , t_i e $\|X_i - X^-(t_i)\|$.

Através dos resultados foi possível fazer os gráficos referentes a $x_1(t)$, $x_2(t)$, $x_3(t)$ e $x_4(t)$ variando no tempo. Segue abaixo os gráficos.

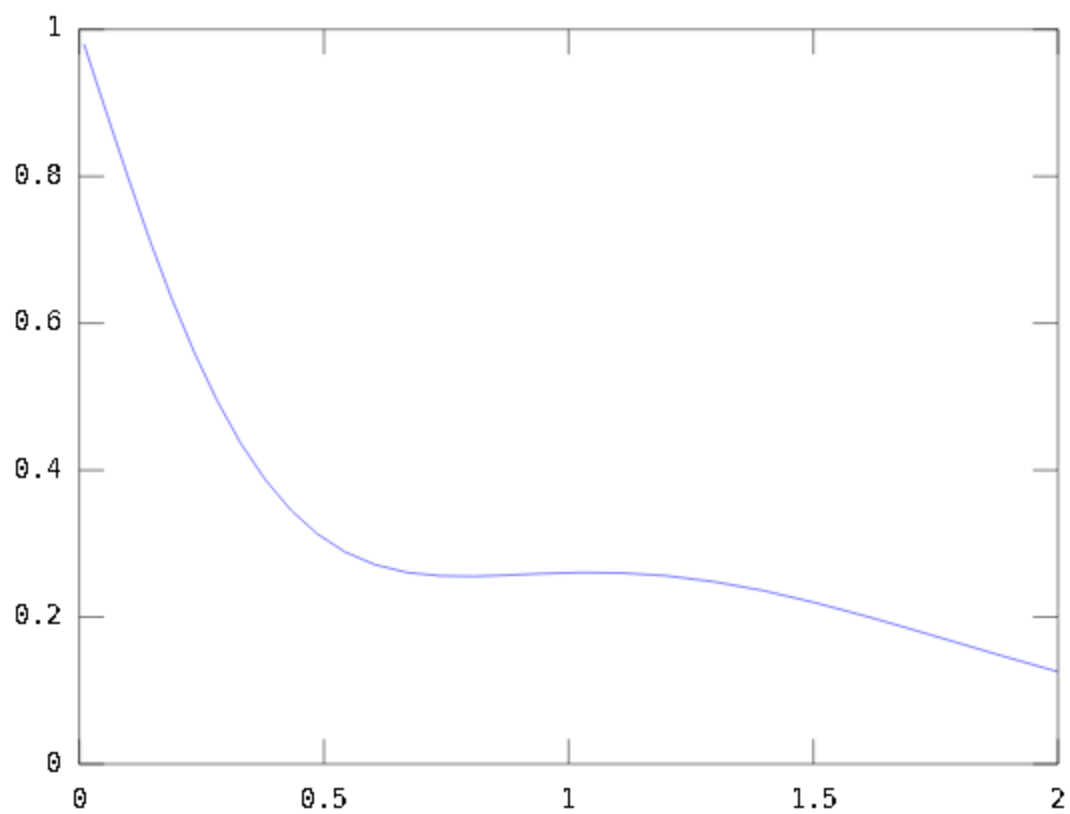


Gráfico 2 - Solução para $x_1(t)$ x tempo.

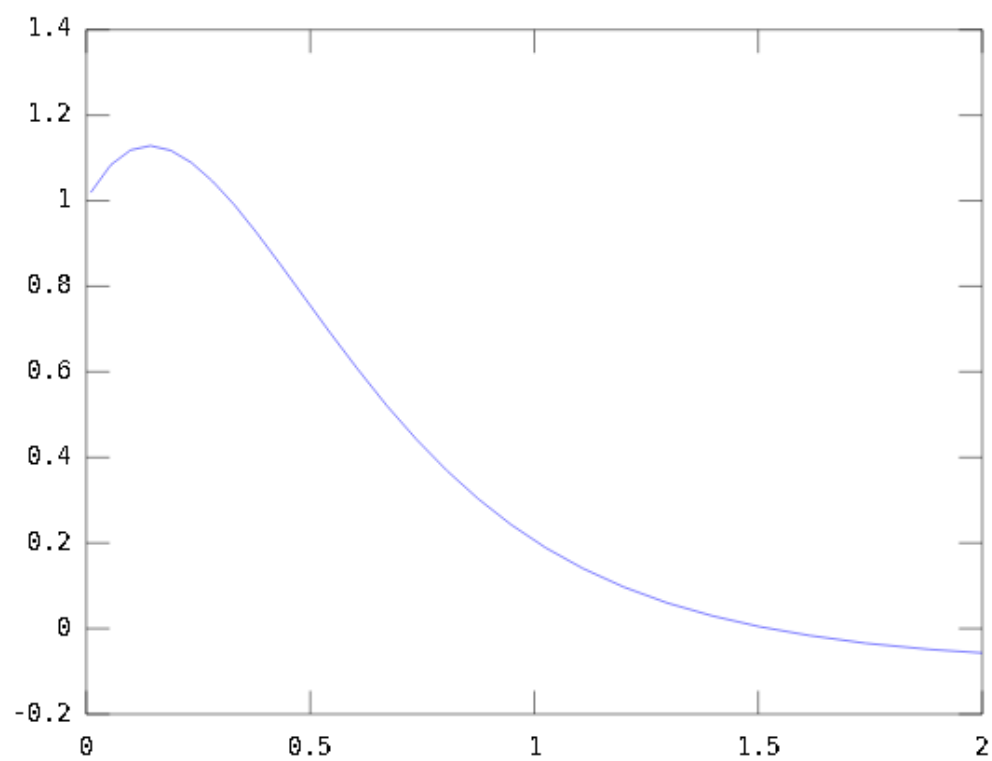


Gráfico 3 - Solução para $x_2(t)$ x tempo.

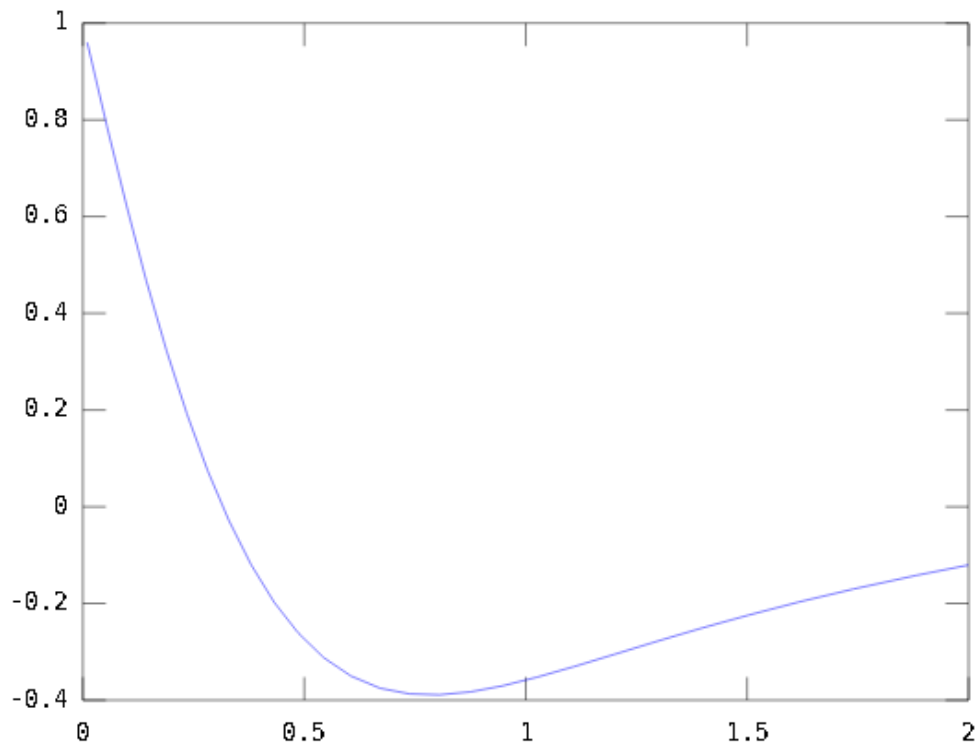


Gráfico 4 - Solução para $x_3(t)$ x tempo.

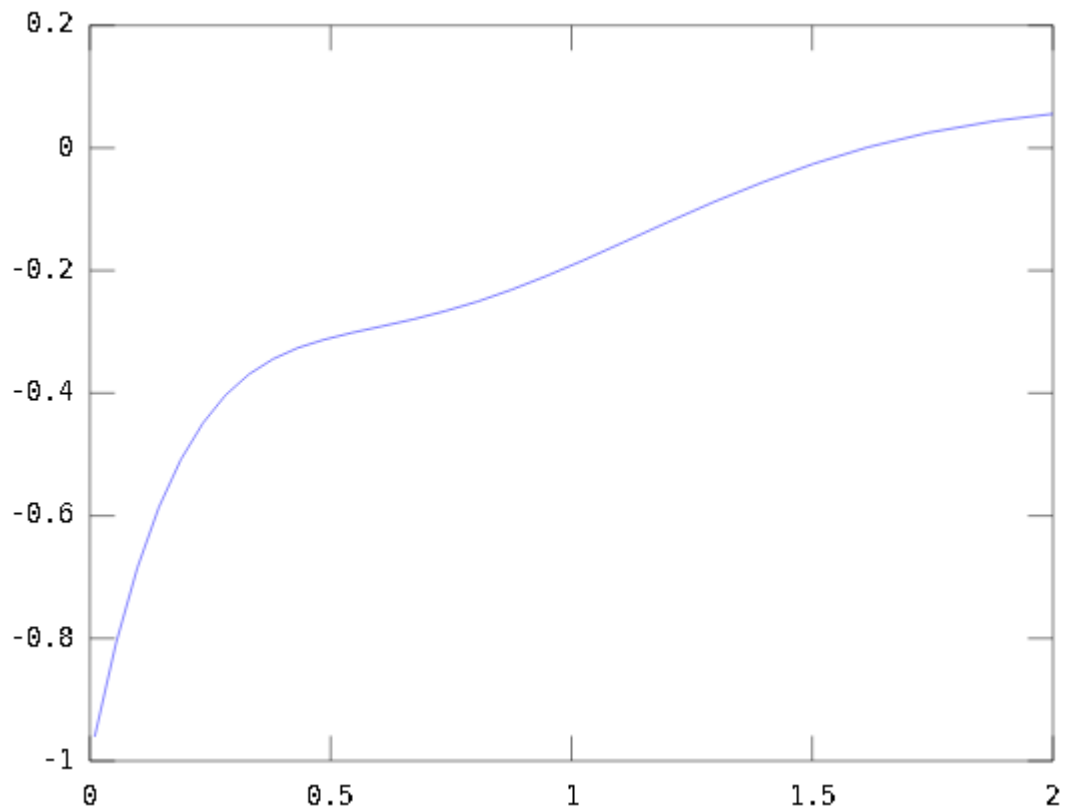


Gráfico 5 - Solução para $x_4(t)$ x tempo.

Além disso também foi impresso o h , a solução e erro em relação a solução exata desta equação. Porém será omitido neste relatório por questões de tamanho. Cabe ao examinador testar o código e gerar tais valores a partir das instruções dadas neste relatório.

3.3. Teste 3

O terceiro teste consiste em resolver o sistema diferencial autônomo $F(t, X) = AX$, com $X \in \mathbb{R}^m$, onde A é uma matriz tridiagonal $m \times m$, tal que $A_{i,i} = -2$, $i = 1, \dots, m$, $A_{i,i+1} = A_{i+1,i} = 1$, $i = 1, \dots, m - 1$ e $A_{i,j} = 0$ nas posições restantes.

Para tal fez-se uso da condição inicial $X(0)_i = \sin(\pi y_i) + \sin(m\pi y_i)$, onde $y_i = i / (m + 1)$, para $i = 1, \dots, m$. O teste foi feito com $m = 7$, usando $h = 0.1$ inicialmente e $\text{eps} = 10^{-5}$. A cada passo foi impresso o valor de h , t_i e $\|X_i - X(t_i)\|$.

Foi impresso o h , a solução e erro em relação a solução exata desta equação. Porém será omitido neste relatório por questões de tamanho. Cabe ao examinador testar o código e gerar tais valores a partir das instruções dadas neste relatório.

Apenas para efeito de curiosidade, segue abaixo as primeiras iterações feitas para esse teste. Vale notar que 'x' e 'erro' são vetores e seus elementos são impressos intercalados por um espaço.

h: 0.01

x: 0.0631286 0.640497 0.21528 1.5387 0.304198 1.53556 0.152046

h: 0.01

x: 0.00750267 0.750377 0.0256154 1.81148 0.0362254 1.81144 0.0181126

erro: 0.00750267 3.75122e-005 1.25123e-007 1.0404e-010 1.24931e-007 3.75124e-005 0.00750267

h: 0.01

x: 0.0147115 0.736006 0.0502257 1.77652 0.0710275 1.77637 0.0355132

erro: 0.0147115 0.000147098 9.80744e-007 2.00226e-010 9.80374e-007 0.000147098 0.0147115

h: 0.01

x: 0.0216382 0.722228 0.0738695 1.74283 0.104459 1.7425 0.0522281

erro: 0.0216382 0.000324489 3.2446e-006 2.89002e-010 3.24407e-006 0.00032449 0.0216382

h: 0.01

x: 0.0282942 0.709019 0.0965842 1.71036 0.136572 1.70979 0.0682825

erro: 0.0282942 0.000565626 7.53981e-006 3.70791e-010 7.53912e-006 0.000565627 0.0282942
 h: 0.01
 x: 0.0346903 0.696357 0.118405 1.67906 0.167416 1.6782 0.0837006
 erro: 0.0346903 0.000866642 1.44379e-005 4.45993e-010 1.44371e-005 0.000866643 0.0346903
 h: 0.01
 x: 0.0408371 0.684219 0.139368 1.6489 0.197036 1.64767 0.098506
 erro: 0.0408371 0.00122386 2.44617e-005 5.1499e-010 2.44608e-005 0.00122386 0.0408371
 h: 0.01
 x: 0.0467445 0.672585 0.159504 1.61982 0.225481 1.61819 0.112721
 erro: 0.0467445 0.00163378 3.80884e-005 5.78143e-010 3.80873e-005 0.00163378 0.0467445
 h: 0.01
 x: 0.0524222 0.661434 0.178846 1.59179 0.252792 1.5897 0.126368
 erro: 0.0524222 0.00209308 5.57516e-005 6.35795e-010 5.57504e-005 0.00209308 0.0524222
 h: 0.01
 x: 0.0578793 0.650747 0.197424 1.56477 0.279012 1.56217 0.139467
 erro: 0.0578793 0.00259859 7.78445e-005 6.8827e-010 7.78432e-005 0.00259859 0.0578793

3.4. Circuito de Chua

Para fazer o teste com o circuito de Chua foram considerados os seguintes parâmetros:

- $C_1 = 10 \text{ nF}$;
- $C_2 = 100 \text{ nF}$;
- $L = 18 \text{ mH}$;
- $E = 1.17391304 \text{ V}$;
- $G_a = -50/66 \text{ mS}$;
- $G_b = -9/22 \text{ mS}$;
- $E_{\max} = 8.1818 \text{ V}$;
- $G_c = 4.591 \text{ mS}$.

Além disso, foram consideradas as seguintes condições iniciais: $V_1 = -0.5 \text{ V}$, $V_2 = -0.2 \text{ V}$ e $I_L = 0$. O valor de R é variado nos experimentos a seguir.

3.4.1. Para $R < 1500 \text{ Ohms}$

Primeiro verificou-se o comportamento do sistema quando $R < 1500$ Ohms. Para tal usou-se $R=1450$ Ohms, $h_{\min} = 10^{-20}$, $h_{\max} = 0.01$ e $\epsilon = 10^{-1}$. Segue abaixo um gráfico 3D da solução encontrada.

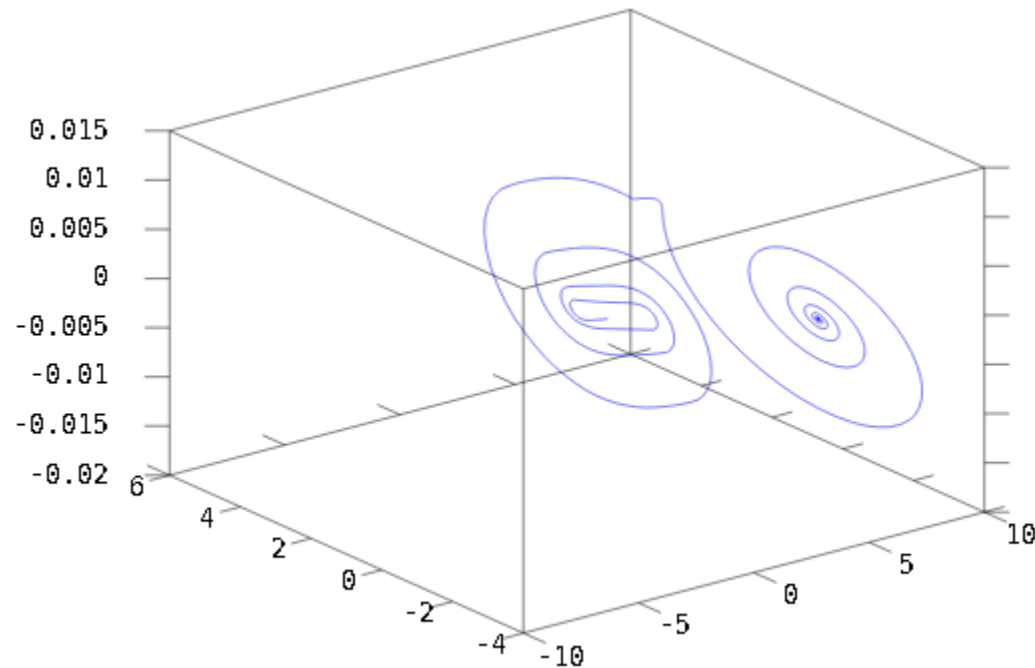


Gráfico 6 - Solução para $R = 1450$ Ohms.

Pode-se perceber que o comportamento do sistema apresenta um “padrão” que pode ser notado mais à frente neste relatório. Basta por agora perceber a imagem que se forma neste gráfico e sua repetição (um pouco distorcida) em outros valores de R .

3.4.2. Para $R = 1600$ Ohms

Depois verificou-se o comportamento do sistema quando $R = 1600$ Ohms. Para tal utilizou-se $R=1600$ Ohms, $h_{\min} = 10^{-20}$, $h_{\max} = 0.01$ e $\epsilon = 10^{-1}$. Segue abaixo um gráfico 3D da solução encontrada.

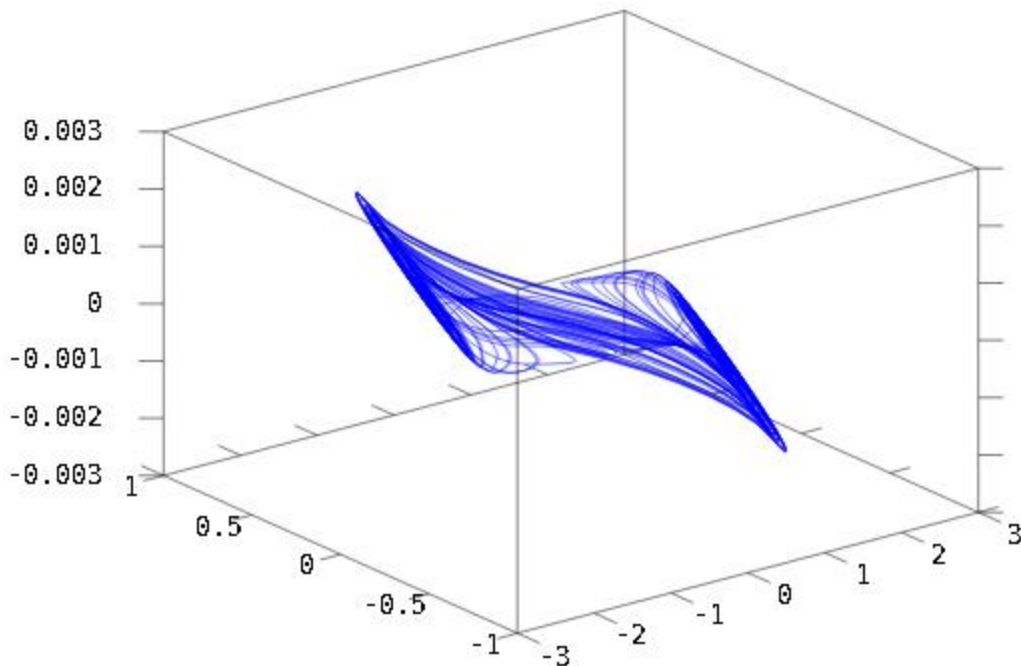


Gráfico 7 - Solução para $R=1600$ Ohms.

Neste segundo exercício vê-se que a imagem que se forma é bem diferente da que foi obtida no primeiro exercício. Esse é o segundo “padrão” que será observado durante as demais mudanças que forem feitas de R .

Nota-se que segundo o enunciado há três partes, do gráfico $v \times i$ do diodo de Chua, que apresentam linearidade. A primeira ocorre quando a tensão que cai sobre o diodo é menor que $-E$, a segunda quando a tensão está entre $-E$ e E e a terceira quando a tensão é maior que E .

Ao variarmos o R a tensão que cai no diodo irá mudar, deslocando o comportamento do sistema para uma dessas partes de linearidade do diodo de Chua. Assim, no primeiro exercício pode-se dizer que a tensão que cai sobre o diodo está em uma dessas faixas de linearidade, enquanto que neste segundo exercício essa tensão encontra-se em outra dessas faixas de linearidade.

3.4.3. Valor de R para uma bifurcação do sistema

O terceiro exercício consistiu em encontrar o valor de R entre 1500 e 1600 Ohms para o qual o sistema passa de um comportamento para outro, ou seja, há uma bifurcação do sistema.

Para tal variou-se o R de forma a encontrar uma mudança de comportamento da solução. Foi utilizado $h_{\min} = 10^{-20}$, $h_{\max} = 0.01$ e $\text{eps} = 10^{-1}$. Segue abaixo o gráfico de $R = 1538,9$ Ohms e de $R = 1539$ Ohms.

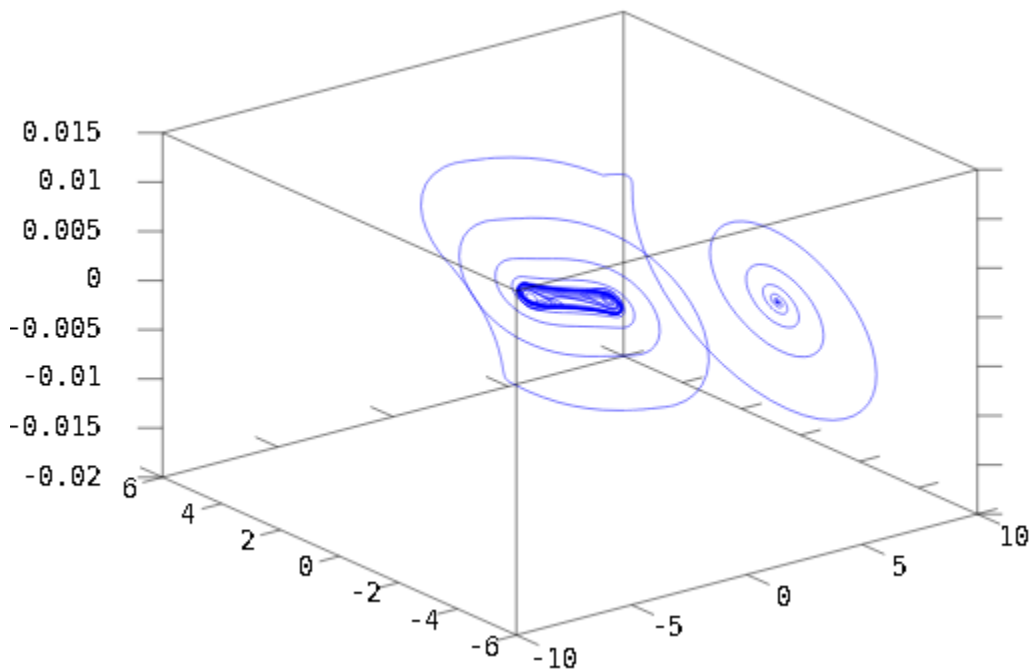


Gráfico 8 - Solução para $R=1538,9$ Ohms.

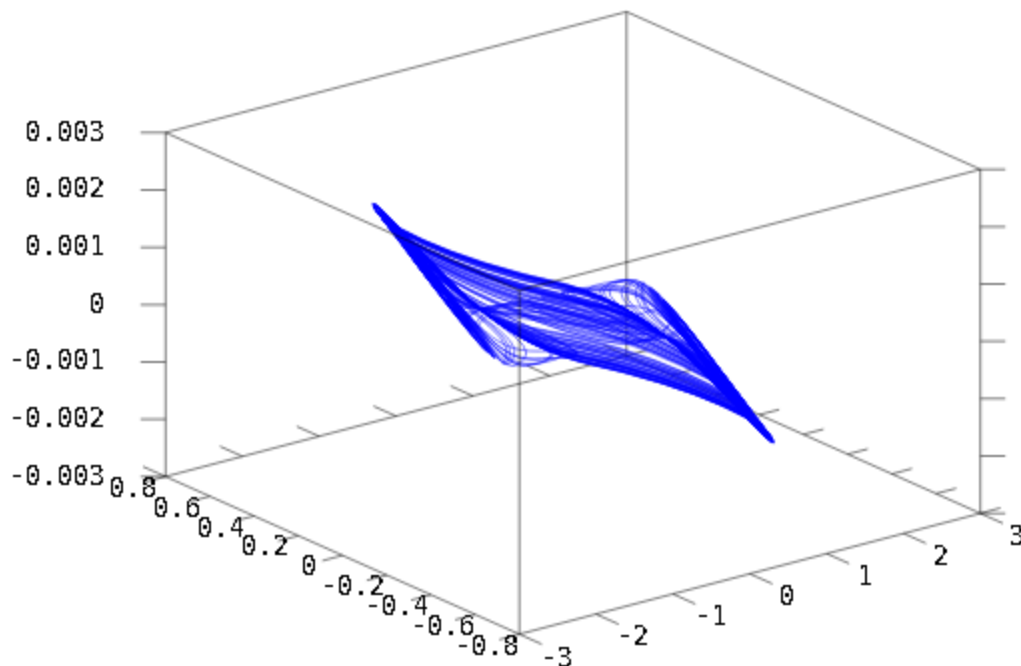


Gráfico 9 - Solução para $R=1539$ Ohms.

Percebe-se nitidamente a mudança de comportamento da solução na transição de $R = 1538,9$ Ohms e $R = 1539$ Ohms. Assim, podemos concluir que 1539 Ohms é o R para o qual o sistema sofre uma bifurcação.

Aqui podemos onde ocorre essa transição em que a tensão que cai no diodo de Chua está em uma faixa de linearidade e sua passagem para outra faixa de linearidade.

3.4.4. Para $R > 2000$ Ohms

Neste quarto exercício verificou-se o comportamento do sistema quando $R > 2000$ Ohms. Para tal utilizou-se $h_{\min} = 10^{-20}$, $h_{\max} = 0.01$, $\epsilon = 10^{-1}$ e três valores de R : 2000 Ohms, 2500 Ohms e 5000 Ohms. Segue abaixo um gráfico 3D das respectivas soluções encontradas.

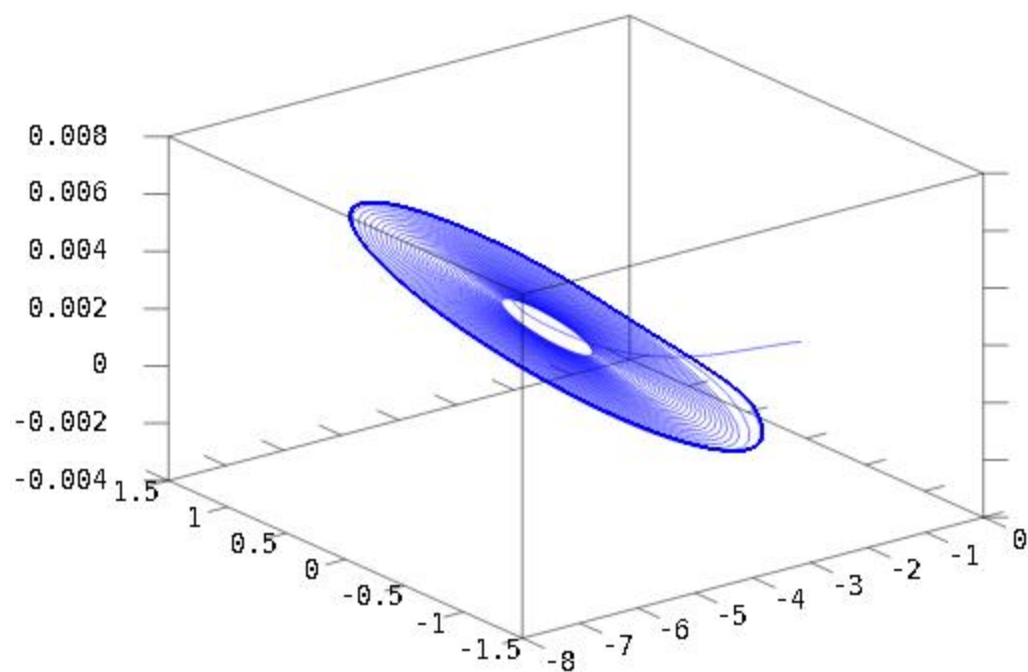


Gráfico 10 - Solução para R=2000 Ohms.

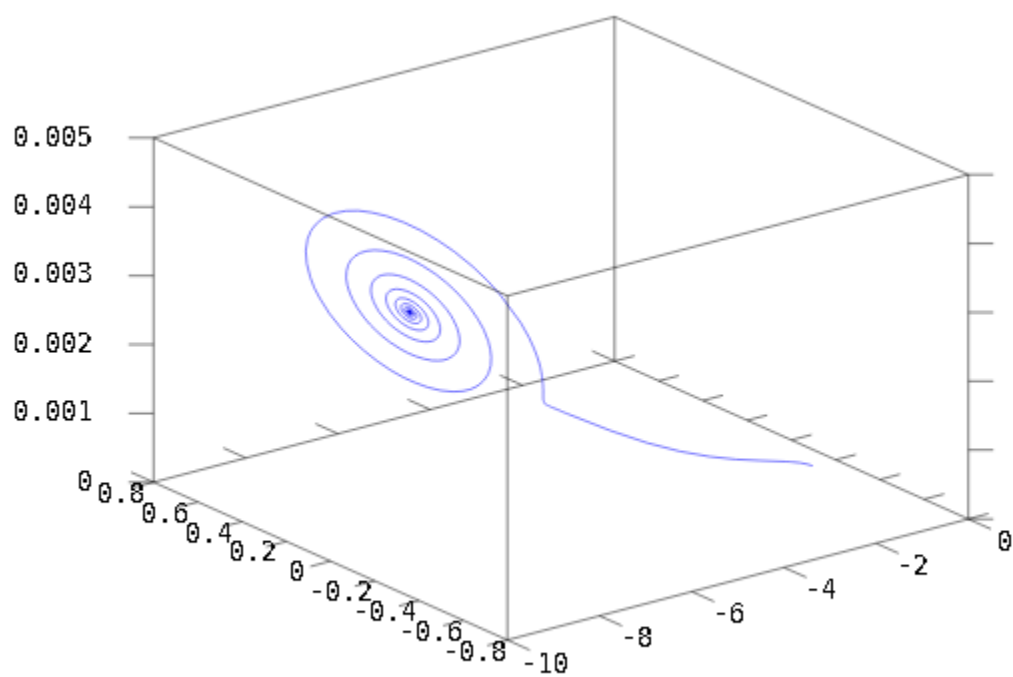


Gráfico 11 - Solução para R=2500 Ohms.

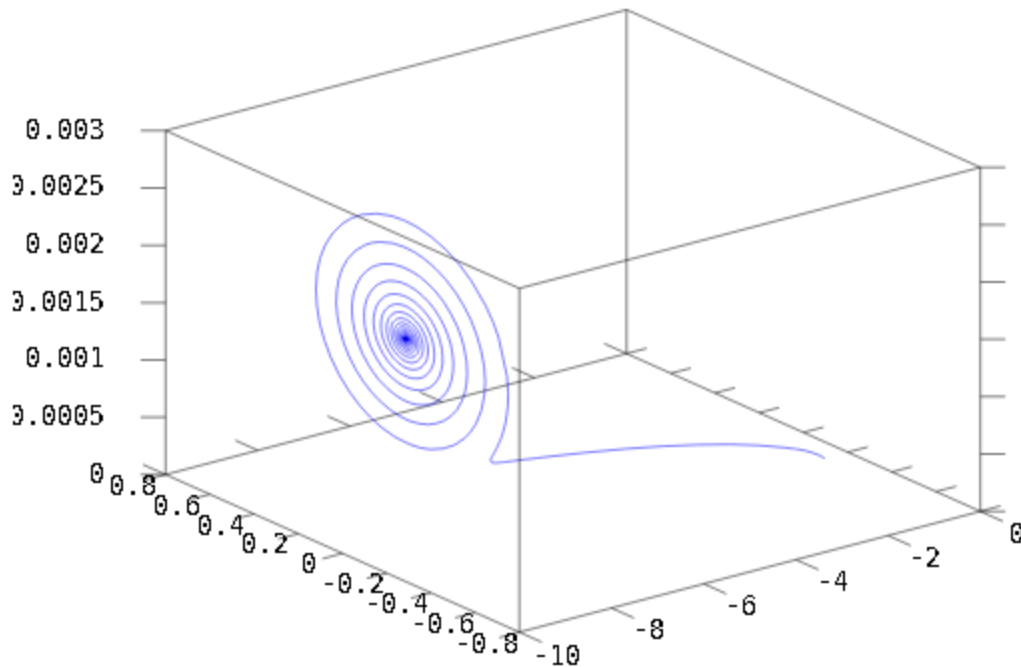


Gráfico 12 - Solução para R=5000 Ohms.

Neste quarto exercício pode-se notar que, novamente, a tensão que cai sobre o diodo de Chua passa de uma faixa de linearidade para outra faixa de linearidade. Isso ocasiona na mudança de “padrão” de imagem obtida na solução do sistema, que passa a lembrar o padrão obtido quando $R < 1500$ Ohms.

3.4.5. Tempo de execução do código

Os exercícios anteriores foram realizados com $h_{\min} = 10^{-20}$, $e = 10^{-1}$, $t_i = 0.0$, $t_f = 0.5$.

R (Ohms)	Tempo de execução (s)
0.5	> 600
1500	15.3
1800	9.6

10000	11.6
100000	11.6

Tabela 1 - Tempos de execução.

O tempo de execução é influenciado pelo valor de R , pois depende da região do sistema que está, se o comportamento é instável ou estável em tal região. Além disso, quanto menor o valor de R , maiores são os valores das tensões, sendo elas estando em regiões mais críticas do sistema.

Regiões mais críticas possuem uma variação mais brusca das funções exigindo valores de h menores possíveis. E quanto menor o passo (h), maior vai ser o número de iterações e consequentemente maior será o tempo de execução.

3.5. Discussões extras

3.5.1. Variação dos parâmetros do circuito

O aumento do valor do parâmetro $C1$ do circuito faz com que a convergência do sistema seja mais rápida. Isso, porque a equação de $V1$ mostra que a dependência dos valores de estado da função não-linear $g(v1)$ é proporcional ao inverso de $C1$, sendo esta função a responsável pelo comportamento não-linear que dificulta a convergência.

O aumento dos outros valores de parâmetro (R , $C2$, L) também podem ter esse efeito por conta das razões apontadas no item anterior. A figura a seguir mostra o retrato de fase para $R = 1500 \text{ Ohms}$, $C1 = 1e-4 \text{ F}$, e os outros parâmetros com mesmo valor e mesmas condições iniciais.

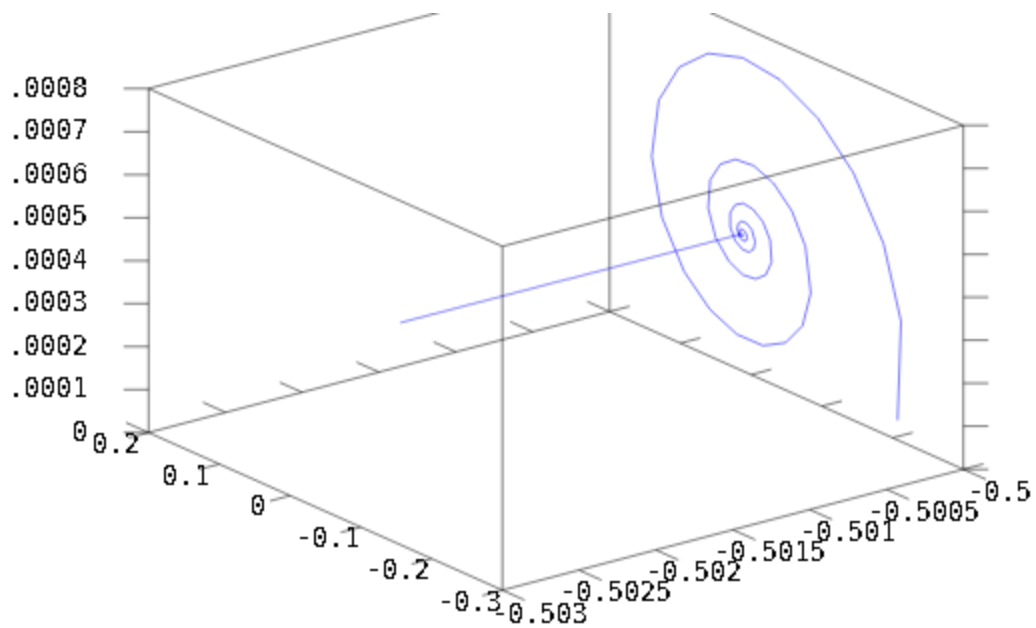


Gráfico 13 - Solução para $R=1500$ Ohms e $C1 = 10^{-4}$ F.

3.5.2. Condições iniciais

Para condições iniciais nulas, o sistema se manteve no estado zero.

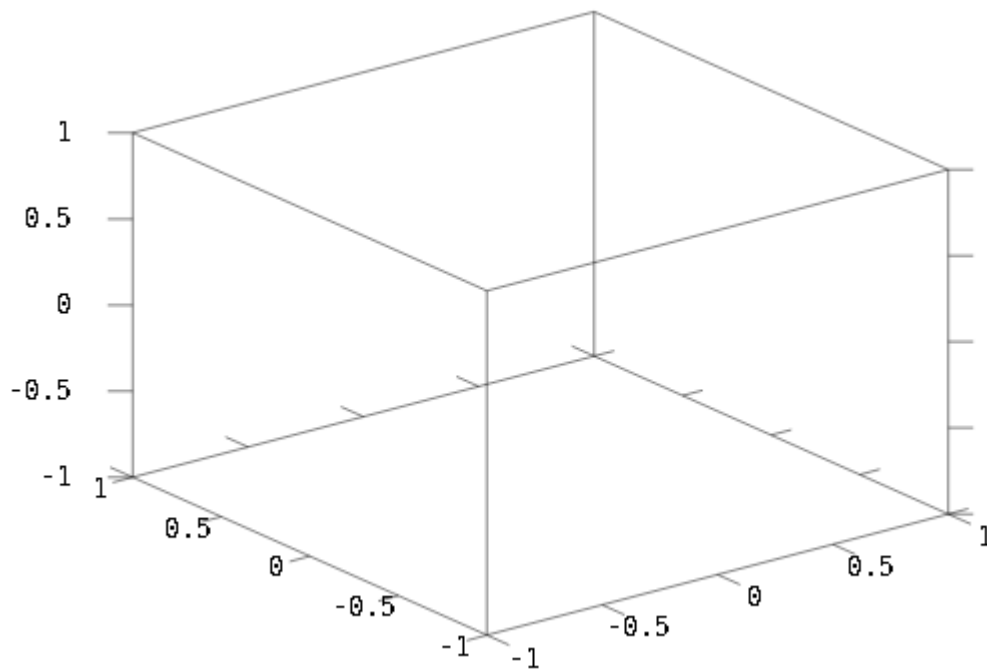


Gráfico 14 - Solução para condições iniciais nulas.

Ao se inserir um valor inicial não nulo de corrente no indutor (no caso 0.5), o sistema teve fortes dificuldades para convergir, mostrando alta sensibilidade do sistema também às condições iniciais

Quanto aos parâmetros do algoritmo, vimos que em vários casos o sistema divergia para $h > 1e-20$, principalmente para $R < 1600$. Novamente, isso se deve ao caráter do sistema de equações que possui uma forte sensibilidade à variações pequenas. Para acompanhar tais variações é necessário um passo tão pequeno quanto o possível. O valor $h = 1e-20$ se mostrou suficiente.

4. Conclusão

Ao final dessa atividade pode-se desenvolver um programa em C++ que resolve o circuito de Chua, através da resolução numérica de equações diferenciais ordinárias.

Para tal foi preciso compreender e desenvolver um programa que faz o método RKF45 e fazer alguns testes preliminares com 1 dimensão, 4 dimensões e m dimensões.